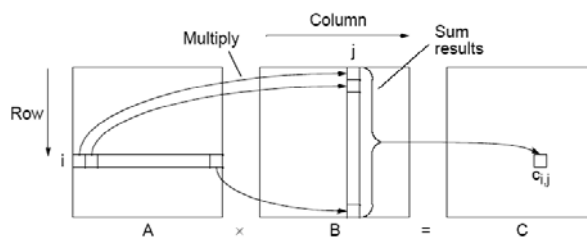


Αριθμητικοί Αλγόριθμοι

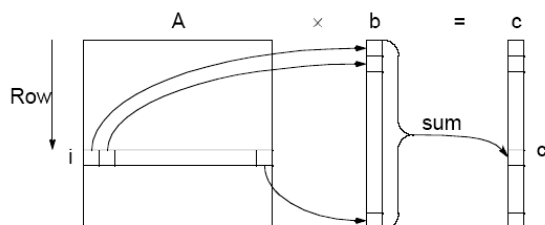
Άθροιση και Πολλαπλασιασμός Πινάκων

- Το άθροισμα $C[n \times n]$ δύο πινάκων $A[n \times n]$ και $B[n \times n]$ ($C=A+B$), προκύπτει από το άθροισμα των αντίστοιχων στοιχείων των A και B δηλ. $c_{i,j} = a_{i,j} + b_{i,j}$ ($0 \leq i < n$, $0 \leq j < n$)
- Το γινόμενο $C[n \times m]$ δύο πινάκων $A[n \times l]$ και $B[l \times m]$ ορίζεται ως εξής:

$$c_{i,j} = \sum_{k=0}^{l-1} a_{ik} b_{kj} \quad i = 0, \dots, n-1, j = 0, \dots, m-1$$



- Ο πολλαπλασιασμός πίνακα με διάνυσμα προκύπτει από το προηγούμενο ορισμό του γινόμενου πινάκων αν θεωρήσουμε το B μονοδιάστατο πίνακα ($B[l \times 1]$)



- Είναι επίσης γνωστό ότι ένα σύστημα γραμμικών εξισώσεων μπορεί να γραφεί υπό μορφή πινάκων ως $Ax=b$ όπου x είναι το διάνυσμα των αγνώστων, A είναι ο πίνακας των συντελεστών των αγνώστων και b είναι το διάνυσμα των σταθερών των εξισώσεων.
- Ο ακολουθιακός κώδικας για τον πολλαπλασιασμό των πινάκων έχει ως εξής:

```
for (i = 0; i < n; i++)
    for (j = 0; j < n; j++) {
        c[i][j] = 0;
        for (k = 0; k < n; k++)
            c[i][j] = c[i][j] + a[i][k] * b[k][j];
    }
```

- Ο αλγόριθμος αυτός απαιτεί n^3 πολλαπλασιασμούς και n^3 προσθέσεις και επομένως η πολυπλοκότητα του αλγορίθμου θα είναι $O(n^3)$.
- Ο παραπάνω υπολογισμός μπορεί εύκολα να παραλληλοποιηθεί αφού δεν υπάρχουν εξαρτήσεις μεταξύ των επαναλήψεων των δύο εξωτερικών βρόχων. Έτσι:
- Με n επεξεργαστές, κάθε επεξεργαστής μπορεί να αναλάβει μία επανάληψη του εξωτερικού βρόχου. Κάθε επεξεργαστής εκτελεί $O(n^2)$ πράξεις.
- Με n^2 επεξεργαστές, κάθε επεξεργαστής αναλαμβάνει τον υπολογισμό ενός στοιχείου του πίνακα C . Κάθε επεξεργαστής εκτελεί $O(n)$ πράξεις.
- Με n^3 επεξεργαστές, μπορούμε να υλοποιήσουμε παράλληλα και τον υπολογισμό κάθε στοιχείου του πίνακα C . Σε αυτή την περίπτωση, η πολυπλοκότητα του παράλληλου αλγορίθμου είναι $O(\log n)$.

Μπορεί να αποδειχθεί ότι το κάτω όριο πολυπλοκότητας για τον παράλληλο πολλαπλασιασμό πινάκων είναι $\Omega(\log n)$.

Πρέπει να σημειωθεί ότι οι παραπάνω πολυπλοκότητες δεν περιλαμβάνουν το χρόνο επικοινωνίας που απαιτεί αλλά αντιστοιχούν μόνο σε χρόνο επεξεργασίας.

Χωρισμός Πινάκων σε Υποπίνακες

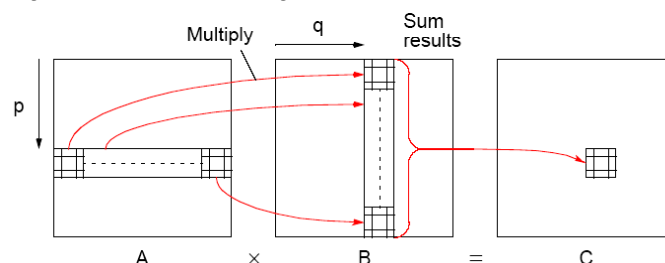
- Στη πράξη, έχουμε στη διάθεση μας πολύ λιγότερους από n επεξεργαστές. Σε αυτή τη περίπτωση κάθε επεξεργαστής αναλαμβάνει τον υπολογισμό περισσότερων στοιχείων του πίνακα C .
- Συγκεκριμένα, αν έχουμε s^2 επεξεργαστές, μπορούμε να χωρίζουμε κάθε πίνακα σε s^2 υποπίνακες διαστάσεων $n/s \times n/s$ elements. Αν $A_{p,q}$ είναι ο υποπίνακας στη γραμμή p και στη στήλη q του block πίνακα A , το γινόμενο $C=AB$ μπορεί να υπολογισθεί ως εξής:

```
for (p = 0; p < s; p++)
    for (q = 0; q < s; q++) {
        Cp,q = 0; /* clear elements of submatrix */
        for (r = 0; r < m; r++) /* submatrix multiplication & */
            Cp,q = Cp,q + Ap,r * Br,q; /*add to accum. submatrix*/
    }
```

Αξίζει να σημειωθεί ότι στον υπολογισμό

$C_{p,q} = C_{p,q} + A_{p,r} * B_{r,q}$;

όλες οι πράξεις είναι μεταξύ πινάκων διαστάσεων $n/s \times n/s$. Αυτός ο τρόπος πολλαπλασιασμού πινάκων είναι γνωστός ως πολλαπλασιασμός block πινάκων



Για παράδειγμα για τον υπολογισμό του γινομένου δύο πινάκων A και B διαστάσεων 4x4, μπορούμε να χωρίσουμε τους πίνακες σε υποπίνακες 2x2 και στη συνέχεια να εκτελέσουμε τον υπολογισμό σε block πίνακες:

$$\begin{bmatrix} a_{0,0} & a_{0,1} & a_{0,2} & a_{0,3} \\ a_{1,0} & a_{1,1} & a_{1,2} & a_{1,3} \\ a_{2,0} & a_{2,1} & a_{2,2} & a_{2,3} \\ a_{3,0} & a_{3,1} & a_{3,2} & a_{3,3} \end{bmatrix} \times \begin{bmatrix} b_{0,0} & b_{0,1} & b_{0,2} & b_{0,3} \\ b_{1,0} & b_{1,1} & b_{1,2} & b_{1,3} \\ b_{2,0} & b_{2,1} & b_{2,2} & b_{2,3} \\ b_{3,0} & b_{3,1} & b_{3,2} & b_{3,3} \end{bmatrix}$$

Έτσι ο αρχικός υπολογισμός ανάγεται ουσιαστικά στη πρόσθεση και πολλαπλασιασμό πινάκων 2x2. Π.χ. ο υπολογισμός του στοιχείου C_{00} σύμφωνα με τον τύπο $C_{00}=A_{00}B_{00}+A_{01}B_{10}$ συνεπάγεται στους ακόλουθους υπολογισμούς:

$$\begin{aligned} & \begin{matrix} A_{0,0} & B_{0,0} & A_{0,1} & B_{1,0} \end{matrix} \\ & \begin{bmatrix} a_{0,0} & a_{0,1} \\ a_{1,0} & a_{1,1} \end{bmatrix} \times \begin{bmatrix} b_{0,0} & b_{0,1} \\ b_{1,0} & b_{1,1} \end{bmatrix} + \begin{bmatrix} a_{0,2} & a_{0,3} \\ a_{1,2} & a_{1,3} \end{bmatrix} \times \begin{bmatrix} b_{2,0} & b_{2,1} \\ b_{3,0} & b_{3,1} \end{bmatrix} \\ & = \begin{bmatrix} a_{0,0}b_{0,0}+a_{0,1}b_{1,0} & a_{0,0}b_{0,1}+a_{0,1}b_{1,1} \\ a_{1,0}b_{0,0}+a_{1,1}b_{1,0} & a_{1,0}b_{0,1}+a_{1,1}b_{1,1} \end{bmatrix} + \begin{bmatrix} a_{0,2}b_{2,0}+a_{0,3}b_{3,0} & a_{0,2}b_{2,1}+a_{0,3}b_{3,1} \\ a_{1,2}b_{2,0}+a_{1,3}b_{3,0} & a_{1,2}b_{2,1}+a_{1,3}b_{3,1} \end{bmatrix} \\ & = \begin{bmatrix} a_{0,0}b_{0,0}+a_{0,1}b_{1,0}+a_{0,2}b_{2,0}+a_{0,3}b_{3,0} & a_{0,0}b_{0,1}+a_{0,1}b_{1,1}+a_{0,2}b_{2,1}+a_{0,3}b_{3,1} \\ a_{1,0}b_{0,0}+a_{1,1}b_{1,0}+a_{1,2}b_{2,0}+a_{1,3}b_{3,0} & a_{1,0}b_{0,1}+a_{1,1}b_{1,1}+a_{1,2}b_{2,1}+a_{1,3}b_{3,1} \end{bmatrix} \\ & = C_{0,0} \end{aligned}$$

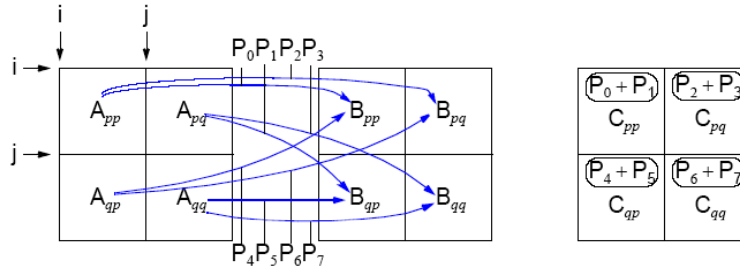
- Στη παράλληλη υλοποίηση του πολλαπλασιασμού πινάκων, θεωρούμε ότι υπάρχουν s^2 διεργασίες/επεξεργαστές $P_{i,j}$ ($i,j=0,\dots,s-1$) και κάθε διεργασία αναλαμβάνει τον υπολογισμό του υποπίνακα C_{ij} του πίνακα C.
- Για τον υπολογισμό αυτό, χρειάζεται τους πίνακες A_{ik} και B_{kj} ($k=0,\dots,s-1$) αφού ο πίνακας C_{ij} δίνεται από τη σχέση $C_{ij} = A_{i0}B_{0j} + A_{i1}B_{1j} + \dots + A_{i,s-1}B_{s-1,j}$.
- Ο υπολογισμός αυτός απαιτεί s πολλαπλασιασμούς πινάκων διαστάσεων $n/s \times n/s$. Κάθε τέτοιος πολλαπλασιασμός πινάκων εκτελεί $(n/s)^3$ απλούς πολλαπλασιασμούς και επομένως ο υπολογισμός του υποπίνακα C_{ij} απαιτεί $s \cdot (n/s)^3 = n^3/s^2$ απλούς πολλαπλασιασμούς.
- Όσον αφορά το χρόνο επικοινωνίας, θεωρούμε ότι και οι δύο πίνακες A και B είναι αρχικά αποθηκευμένοι στη master διεργασία. Στη συνέχεια τα στοιχεία αυτά θα πρέπει να μοιραστούν στις s^2 slave διεργασίες. Με δύο διαφορετικά μηνύματα από τη master διεργασία, κάθε slave διεργασία θα λάβει $s \cdot (n/s)^2$ στοιχεία από τον πίνακα A και $s \cdot (n/s)^2$ στοιχεία από το πίνακα B, συνολικά $2n^2/s$ στοιχεία.
- Μετά τον υπολογισμό των υποπινάκων C_{ij} , τα $(n/s)^2$ στοιχεία κάθε υποπίνακα θα πρέπει να σταλούν πίσω στη master διεργασία. Έτσι συνολικά ο χρόνος επικοινωνίας θα είναι $T_{\text{comm}} = 2s^2 t_{\text{startup}} + 2n^2s t_{\text{data}} + s^2 t_{\text{startup}} + n^2 t_{\text{data}} = 3s^2 t_{\text{startup}} + (2s+1) n^2 t_{\text{data}}$

Αναδρομική υλοποίηση του πολλαπλασιασμού πινάκων

Όπως αναφέρθηκε προηγουμένως, ο πολλαπλασιασμός δύο πινάκων $n \times n$ μπορεί να αναχθεί σε πολλαπλασιασμό και πρόσθεση πινάκων $n/2 \times n/2$ αν διαιρέσουμε κάθε πίνακα σε 4×4 υποπίνακες.

Αυτή ιδέα μπορεί να εφαρμοσθεί αναδρομικά με μία τεχνική διαίρει και βασίλευε.

Αρχικά, οι δύο $n \times n$ πίνακες A και B χωρίζονται σε 4 υποπίνακες. Θεωρούμε ότι η διάσταση n είναι δύναμη του δύο.



Ο υπολογισμός ανάγεται στον υπολογισμό των 8 γινομένων $A_{ik}B_{kj}$ όπου $i, j, k = p, q$. Οι πίνακες σε αυτά τα γινόμενα είναι διαστάσεων $n/4 \times n/4$ και μπορούν να υπολογιστούν με την ίδια λογική, χωρίζοντας τους πίνακες αυτούς σε υποπίνακες $n/8 \times n/8$. Ακολουθώντας αυτή την αναδρομική λογική, θα φτάσουμε σε πίνακες 1×1 που ο πολλαπλασιασμός μπορεί να υλοποιηθεί με προφανή τρόπο.

Αναδρομικός αλγόριθμος

- Ο αναδρομικός αλγόριθμος για τον πολλαπλασιασμό πινάκων μπορεί να διατυπωθεί ως εξής:

```
mat_mult(A_pp, B_pp, s)
{
  if (s == 1) /* if submatrix has one element */
    C = A * B; /* multiply elements */
  else { /* continue to make recursive calls */
    s = s/2; /* no of elements in each row/column */
    P0 = mat_mult(A_pp, B_pp, s);
    P1 = mat_mult(A_pq, B_qp, s);
    P2 = mat_mult(A_pp, B_pq, s);
    P3 = mat_mult(A_pq, B_qq, s);
    P4 = mat_mult(A_qp, B_pp, s);
    P5 = mat_mult(A_qq, B_qp, s);
    P6 = mat_mult(A_qp, B_pq, s);
    P7 = mat_mult(A_qq, B_qq, s);
    C_pp = P0 + P1; /* add submatrix products to */
    C_pq = P2 + P3; /* form submatrices of final matrix */
    C_qp = P4 + P5;
    C_qq = P6 + P7;
  }
  return (C); /* return final matrix */
}
```

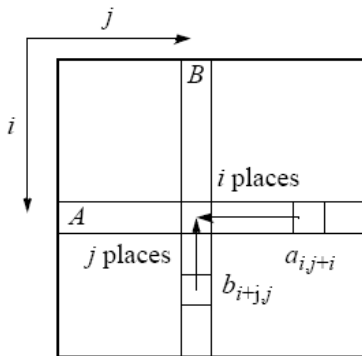
- Αυτός ο αναδρομικός υπολογισμός του γινομένου δύο πινάκων μπορεί εύκολα να υλοποιηθεί παράλληλα.
- Συγκεκριμένα, κάθε διεργασία/επεξεργαστής μπορεί να αναλάβει τον υπολογισμό μίας από τις οκτώ αναδρομικές κλήσεις της συνάρτησης.
- Είναι επίσης δυνατόν κάθε αναδρομική κλήση να εκτελεσθεί από περισσότερες από μία διεργασίες.
- Γενικά, μπορούμε να συνεχίσουμε την εκτέλεση της αναδρομής μέχρι το πλήθος των αναδρομικών κλήσεων να φθάσει το πλήθος των διαθέσιμων επεξεργαστών/διεργασιών.
- Ιδανικά, το πλήθος των διαθέσιμων διεργασιών θα πρέπει να είναι δύναμη του 8.
- Ο αλγόριθμος αυτός είναι κατάλληλος για υλοποίηση σε συστήματα καταμεμημένης μνήμης αφού καθώς προχωράει η αναδρομή οι προσβάσεις στα δεδομένα του πίνακα A και B έχουν τοπικό χαρακτήρα και επομένως οι περισσότερες από αυτές τις προσβάσεις ικανοποιούνται από τις τοπικές μνήμες cache των επεξεργαστών.

Ο αλγόριθμος του Cannon για πολλαπλασιασμό πινάκων

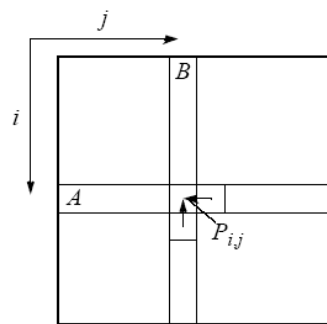
- Ο αλγόριθμος υποθέτει ότι το διασυνδεδετικό δίκτυο μεταξύ των επεξεργαστών είναι κυκλικό πλέγμα (torus). Η διάταξη του torus μπορεί εύκολα να προσομοιωθεί και σε άλλα διασυνδεδετικά δίκτυα. Π.χ. στο MPI μπορούμε εύκολα να προγραμματίσουμε την τοπολογία mesh.
- Στη πράξη όμως η υλοποίηση του πλέγματος σε μία αρχιτεκτονική cluster όπου όλοι οι υπολογιστές επικοινωνούν μέσω ενός κοινού διαύλου (π.χ. Ethernet) οδηγεί σε συμφόρηση στο κοινό μέσο λόγω των ταυτόχρονων μεταδόσεων που υπαγορεύει η αρχιτεκτονική του δικτύου mesh.
- Σε αυτή την περίπτωση το μέγεθος των υποπινάκων που χρησιμοποιεί ο αλγόριθμος Cannon πρέπει να είναι σχετικά μεγάλο, έτσι ώστε ο όγκος επεξεργασίας που εκτελεί κάθε επεξεργαστής μεταξύ διαδοχικών επικοινωνιών να αντισταθμίζει την επιβάρυνση λόγω επικοινωνιών.

Θα περιγράψουμε τον αλγόριθμο θεωρώντας ότι έχουμε στη διάθεση μας n^2 επεξεργαστές όσα και τα στοιχεία των πινάκων A, B και C. Όταν έχουμε λιγότερους επεξεργαστές, η διαδικασία που ακολουθεί μπορεί εύκολα να προσαρμοσθεί μόνο που αντί για απλά στοιχεία, η επεξεργασία γίνεται σε υποπίνακες των πινάκων A, B και C.

1. Αρχικά ο επεξεργαστής $P_{i,j}$ έχει τα στοιχεία $a_{i,j}$ και $b_{i,j}$ ($0 \leq i < n$, $0 \leq j < n$).
2. Τα στοιχεία των πινάκων A και B μετακινούνται κατά τέτοιο τρόπο έτσι ώστε στοιχεία των A και B που μπορούν να πολλαπλασιαστούν μεταξύ τους να βρεθούν στον ίδιο επεξεργαστή. Συγκεκριμένα, η i -οστή γραμμή του A ολισθαίνει κατά i θέσεις αριστερά και η j -οστή στήλη του B ολισθαίνει j θέσεις προς τα πάνω. Αυτό έχει ως αποτέλεσμα τα στοιχεία $a_{i,j+i}$ και $b_{i+j,j}$ να βρεθούν στον επεξεργαστή $P_{i,j}$. Αυτά τα στοιχεία είναι χρήσιμα για τον υπολογισμό του στοιχείου $c_{i,j}$ του πίνακα C.
3. Κάθε επεξεργαστής $P_{i,j}$ πολλαπλασιάζει τα στοιχεία που έχει τοπικά.
4. Η i -οστή γραμμή του A ολισθαίνει μία θέση προς τα αριστερά και η j -οστή στήλη του B ολισθαίνει μία θέση προς τα πάνω. Αυτό έχει ως αποτέλεσμα κάθε επεξεργαστής να έχει δυο νέα στοιχεία των A και B που μπορούν να πολλαπλασιασθούν μεταξύ τους.
5. Κάθε επεξεργαστής $P_{i,j}$ πολλαπλασιάζει αυτά τα στοιχεία και το αποτέλεσμα προστίθεται στη τρέχουσα τιμή του στοιχείου $c_{i,j}$.
6. Τα βήματα 4 και 5 επαναλαμβάνονται μέχρι το τελικό αποτέλεσμα να προκύψει ($n - 1$ οριζόντιες και κατακόρυφες ολισθήσεις απαιτούνται όταν οι πίνακες είναι $n \times n$).



Βήμα 2 – Ευθυγράμμιση των στοιχείων A και B



Βήμα 4 – Ολίσθηση των στοιχείων των A και B κατά μία θέση

Θα αναλύσουμε την πολυπλοκότητα του αλγορίθμου όταν έχουμε $s \times s$ επεξεργαστές :

Επικοινωνία: Αρχική ευθυγράμμιση απαιτεί $s-1$ ολισθήσεις των στοιχείων των A και B. Κατά την εκτέλεση του αλγορίθμου θα έχουμε άλλες $s-1$ ολισθήσεις των στοιχείων των A και B. Κάθε ολίσθηση μεταφέρει $(n/s)^2$ στοιχεία. Άρα συνολικά θα έχουμε:

$$t_{\text{comm}} = 4(s-1)(t_{\text{startup}} + (n/s)^2 t_{\text{data}})$$

Υπολογισμός: Κάθε πολλαπλασιασμός και άθροιση υποπινάκων απαιτεί $(n/s)^3$ πολλαπλασιασμούς και αθροίσεις. Συνολικά θα έχουμε

$$T_{\text{comp}} = 2s (n/s)^3 = 2n^3 / s^2$$

Επίλυση συστήματος γραμμικών εξισώσεων

• Έστω ένα σύστημα γραμμικών εξισώσεων:

$$\begin{array}{rcllcl}
 a_{n-1,0}x_0 + a_{n-1,1}x_1 + a_{n-1,2}x_2 & \dots & + a_{n-1,n-1}x_{n-1} & = & b_{n-1} \\
 & & & & \vdots \\
 & & & & \vdots \\
 a_{2,0}x_0 + a_{2,1}x_1 + a_{2,2}x_2 & \dots & + a_{2,n-1}x_{n-1} & = & b_2 \\
 a_{1,0}x_0 + a_{1,1}x_1 + a_{1,2}x_2 & \dots & + a_{1,n-1}x_{n-1} & = & b_1 \\
 a_{0,0}x_0 + a_{0,1}x_1 + a_{0,2}x_2 & \dots & + a_{0,n-1}x_{n-1} & = & b_0
 \end{array}$$

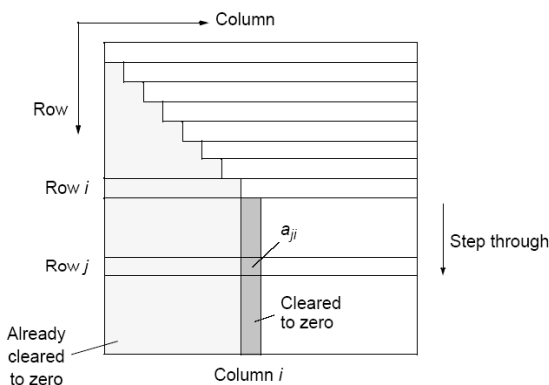
το οποίο σε μορφή πινάκων γράφεται ως $Ax=b$

- Ο στόχος είναι η εύρεση τιμών για τους αγνώστους x_0, x_1, \dots, x_{n-1} , με δεδομένες τιμές των $a_{0,0}, a_{0,1}, \dots, a_{n-1,n-1}$ και b_0, \dots, b_n .
- Πρώτα θα δούμε τρόπους επίλυσης του γραμμικού συστήματος όταν ο πίνακας A είναι πυκνός δηλ. όταν τα περισσότερα στοιχεία του είναι μη μηδενικά.
- Στη συνέχεια, θα δούμε μεθόδους επίλυσης του γραμμικού συστήματος όταν ο πίνακας A είναι αραιός.

Επίλυση γραμμικού συστήματος με τη μέθοδο Gaussian Elimination

- Ο στόχος αυτής της μεθόδου είναι η μετατροπή ενός γενικού συστήματος γραμμικών εξισώσεων σε ένα τριγωνικό σύστημα εξισώσεων. Στη συνέχεια, το σύστημα αυτό επιλύεται με τη προς τα πίσω αντικατάσταση των αγνώστων (Back Substitution).
- Βασίζεται στο γεγονός ότι η τελική λύση ενός γραμμικού συστήματος δεν επηρεάζεται όταν σε οποιαδήποτε γραμμή προσθέσουμε κάποια άλλη γραμμή πολλαπλασιασμένη με μία σταθερά.
- Η διαδικασία αρχίζει από τη πρώτη γραμμή και επισκέπτεται κάθε γραμμή μέχρι και την τελευταία. Κατά την επίσκεψη της i -οστής γραμμής, αντικαθιστούμε κάθε γραμμή j κάτω από την i -οστή γραμμή με τη (γραμμή j) + (γραμμή i) $a_{j,i}/a_{i,i}$. Επομένως, μετά τις παραπάνω αντικαταστάσεις, όλα τα στοιχεία του πίνακα A που είναι επί της j -οστής στήλης και κάτω από την i -οστή γραμμή μηδενίζονται αφού

$$a_{j,i} = a_{j,i} + a_{i,i} \left(\frac{-a_{j,i}}{a_{i,i}} \right) = 0$$



- Στο σχήμα φαίνεται ο μηδενισμός αυτών των στοιχείων κατά την επίσκεψη στην i -οστή γραμμή του πίνακα A .
- Επίσης όλα τα στοιχεία που είναι σε στήλες πιο αριστερά της στήλης j και κάτω από τη διαγώνιο, έχουν ήδη μηδενιστεί από επισκέψεις σε προηγούμενες γραμμές του πίνακα.

- Αν κατά την επίσκεψη στην i -οστή γραμμή, το στοιχείο $a_{i,i}$ είναι μηδέν ή κοντά στο μηδέν, δεν θα μπορέσουμε να υπολογίσουμε την ποσότητα $-a_{j,i}/a_{i,i}$.
- Η διαδικασία θα πρέπει να τροποποιηθεί εφαρμόζοντας την τεχνική *partial pivoting*. Συγκεκριμένα το πρόβλημα επιλύεται με την αντιμετάθεση της i -οστής γραμμής με εκείνη τη γραμμή που είναι κάτω από την i και η οποία έχει το μεγαλύτερο σε απόλυτη τιμή στοιχείο στη στήλη j . Αξίζει να σημειωθεί ότι η επαναδιάταξη εξισώσεων δεν επηρεάζει τη λύση του γραμμικού συστήματος.
- Ο ακολουθιακός κώδικας για τη τεχνική *Gaussian elimination* χωρίς *partial pivoting* είναι ο εξής:

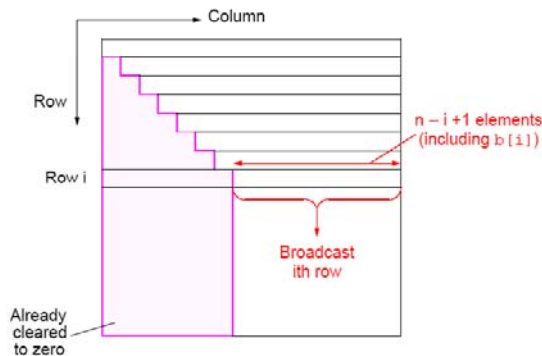
```

for (i = 0; i < n-1; i++)          /* for each row, except last */
  for (j = i+1; j < n; j++) {     /*step thro subsequent rows */
    m = a[j][i]/a[i][i];          /* Compute multiplier */
    for (k = i; k < n; k++)       /*last n-i-1 elements of row j*/
      a[j][k] = a[j][k] - a[i][k] * m;
      b[j] = b[j] - b[i] * m;      /* modify right side */
  }

```

- Η συνολική πολυπλοκότητα του παραπάνω αλγορίθμου είναι $O(n^3)$.

Παράλληλη υλοποίηση



- Ο εξωτερικός βρόχος στο προηγούμενο πρόγραμμα είναι δύσκολο να παραλληλοποιηθεί γιατί η επεξεργασία σε κάθε επανάληψη εξαρτάται από τα αποτελέσματα όλων των προηγούμενων.
- Αντίθετα, οι επαναλήψεις του εσωτερικού βρόχου, μπορούν να παραλληλοποιηθούν αφού κάθε επανάληψη περιλαμβάνει υπολογισμούς σε διαφορετικές γραμμές του πίνακα.
- Έτσι αν έχουμε n επεξεργαστές, κάθε επεξεργαστής μπορεί να αναλάβει από μία γραμμή του πίνακα. Συγκεκριμένα ο επεξεργαστής P_i αναλαμβάνει την i -οστή εξίσωση
- Κατά την i -οστή επανάληψη του εξωτερικού βρόχου, θα πρέπει η διεργασία P_i (που έχει αναλάβει την i -οστή γραμμή) να στείλει τα περιεχόμενα της i -οστής εξίσωσης σε όλους τους επεξεργαστές P_j όπου $j > i$.
- Στη συνέχεια κάθε επεξεργαστής $j > i$, υπολογίζει τοπικά τις νέες τιμές των στοιχείων της i -οστής εξίσωσης.
- Είναι επίσης φανερό ότι όλοι οι επεξεργαστές P_j με $j < i$ είναι αδρανείς κατά την i -οστή επανάληψη

- Στη συνέχεια θα προσδιορίσουμε την πολυπλοκότητα της παράλληλης υλοποίησης

Επικοινωνία : Συνολικά εκτελούνται $n-1$ λειτουργίες εκπομπής. Στην i -οστή λειτουργία, ο επεξεργαστής P_i στέλνει $n-i+1$ στοιχεία της i -οστής γραμμής στις υπόλοιπες διεργασίες ($i=1 \dots n$). Συνολικά θα έχουμε:

$$t_{comm} = \sum_{i=1}^{n-1} (t_{startup} + (n-i+1)t_{data}) = (n-1)t_{startup} + \left(\frac{(n+2)(n+1)}{2} - 3\right)t_{data} = O(n^2)$$

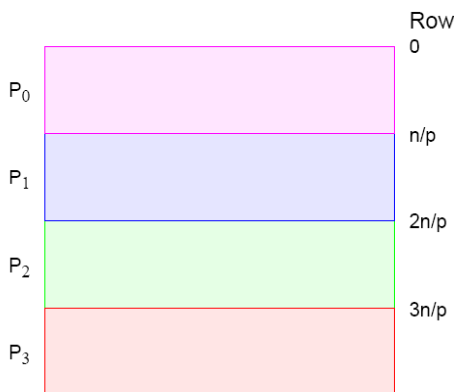
Επικοινωνία: Μετά από την λήψη των στοιχείων της γραμμής i που έστειλε ο επεξεργαστής P_i , κάθε επεξεργαστής P_j ($j>i$) εκτελεί $n-j+2$ πολλαπλασιασμούς και $n-j+2$ αφαιρέσεις για τον υπολογισμό των νέων τιμών της j -οστής γραμμής. Συνολικά θα έχουμε

$$t_{comp} = 2 \sum_{i=1}^{n-1} (n-j+2) = \frac{(n+2)(n+1)}{2} - 3 = O(n^2)$$

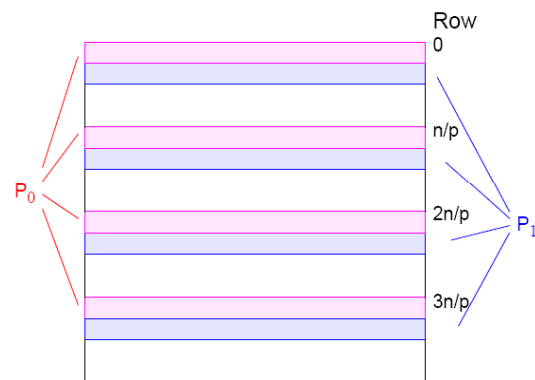
- Το βασικό πρόβλημα με αυτή την υλοποίηση είναι ότι προοδευτικά όλο και περισσότεροι επεξεργαστές είναι αδρανείς. Συγκεκριμένα, αν η τρέχουσα επανάληψη είναι στη i -οστή γραμμή, όλοι οι επεξεργαστές P_j ($j<i$) είναι αδρανείς.

- Στη πράξη, το πλήθος των διαθέσιμων επεξεργαστών είναι πολύ λιγότερο από πλήθος n των εξισώσεων. Σε αυτή την περίπτωση κάθε επεξεργαστής αναλαμβάνει περισσότερες από μία εξισώσεις (γραμμές) του γραμμικού συστήματος. Υπάρχουν δύο εναλλακτικές:

Κατανομή κατά λωρίδες (Strip allocation): Ο επεξεργαστής P_i αναλαμβάνει τις γραμμές $i*(n/p) \dots (i+1)*(n/p)-1$. Η τεχνική αυτή έχει πάλι το μειονέκτημα του προοδευτικά αυξανόμενου αριθμού επεξεργαστών που είναι αδρανείς.



Strip allocation



Cyclic-Striped Partitioning

Κατανομή κατά λωρίδες (Strip allocation): Ο επεξεργαστής P_i αναλαμβάνει τις γραμμές $i+(n/p), i+2*(n/p), i+3*(n/p) \dots$. Η κατανομή αυτή επιλύει το μειονέκτημα της προηγούμενης κατανομής και επιτυγχάνει καλύτερη κατανομή φόρτου στους επεξεργαστές.

Επαναληπτικές μέθοδοι επίλυσης γραμμικών συστημάτων

- Με χρήση N επεξεργαστών, η χρονική πολυπλοκότητα των απευθείας μεθόδων είναι $O(N^2)$, η οποία είναι σχετικά υψηλή.
- Η χρονική πολυπλοκότητα μίας επαναληπτικής μεθόδου εξαρτάται από διάφορους παράγοντες όπως:
 - τύπος επαναληπτικής μεθόδου,
 - πλήθος επαναλήψεων
 - πλήθος αγνώστων και
 - απαιτούμενη ακρίβεια
- Οι επαναληπτικές μέθοδοι είναι προτιμότερες όταν ο πίνακας A των συντελεστών του γραμμικού συστήματος είναι αραιός πίνακας.
- Η πρώτη επαναληπτική μέθοδος είναι η επανάληψη Jacobi. Στην τεχνική αυτή, η i -οστή εξίσωση επιλύεται ως προς τον άγνωστο x_i και η εξίσωση αυτή χρησιμοποιείται για την ενημέρωση της τιμής του αγνώστου x_i . Συγκεκριμένα, η ενημέρωση γίνεται με τον ακόλουθο τύπο:

$$x_i^k = \frac{1}{a_{ii}} \left[b_i - \sum_{j \neq i} a_{ij} x_j^{k-1} \right]$$

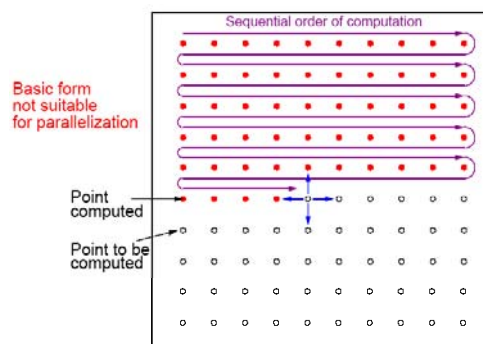
όπου x_i^k είναι η τιμή του αγνώστου x_i μετά την k -οστή επανάληψη, και x_i^{k-1} είναι η τιμή του αγνώστου x_i μετά την $(k-1)$ -οστή επανάληψη.

Έχει παρατηρηθεί ότι η σύγκλιση της τεχνικής Jacobi είναι σχετικά αργή και εξαρτάται από τον πίνακα συντελεστών A .

- Η δεύτερη επαναληπτική τεχνική είναι η Gauss-Seidel τεχνική η οποία παρουσιάζει ταχύτερη σύγκλιση.
- Στη τεχνική αυτή, οι τιμές των αγνώστων που έχουν υπολογισθεί στη τρέχουσα επανάληψη, χρησιμοποιούνται για τον υπολογισμό των επόμενων αγνώστων. Συγκεκριμένα, η ενημέρωση της τιμής του αγνώστου x_i γίνεται με τον ακόλουθο τύπο:

$$x_i^k = \frac{1}{a_{ii}} \left[b_i - \sum_{j=1}^{i-1} a_{ij} x_j^k - \sum_{j=i+1}^N a_{ij} x_j^{k-1} \right]$$

- Η επαναληπτική μέθοδος είναι εγγενώς ακολουθιακή αφού η ενημέρωση της τιμής του αγνώστου x_i εξαρτάται από τις νέες τιμές των αγνώστων x_j ($j < i$). Αντιθέτως, στην τεχνική Jacobi όλες οι ενημερώσεις των αγνώστων σε μία επανάληψη μπορούν να γίνουν παράλληλα αφού εξαρτώνται μόνο από τις τιμές των αγνώστων από την προηγούμενη επανάληψη.



Διάταξη Red-Black

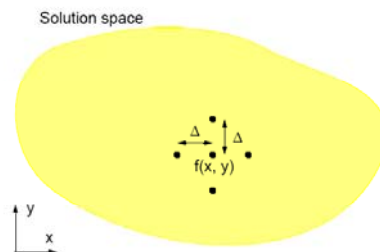
Πολλές φορές αραιά γραμμικά συστήματα εξισώσεων προκύπτουν ως διακριτή προσέγγιση μερικών διαφορικών εξισώσεων. Παράδειγμα, με τη «διακριτοποίηση» του επιπέδου η μερική διαφορική εξίσωση

$$\frac{\partial^2 f}{\partial x^2} + \frac{\partial^2 f}{\partial y^2} = 0$$

μπορεί να επιλυθεί προσεγγιστικά με τους ακόλουθους επαναληπτικούς τύπους

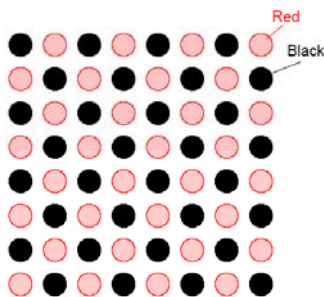
$$f_{i,j}^k = \frac{[f_{i-1,j}^{k-1} + f_{i,j-1}^{k-1} + f_{i+1,j}^{k-1} + f_{i,j+1}^{k-1}]}{4}$$

όπου $f_{i,j}$ είναι η τιμή της άγνωστης συνάρτησης στο σημείο $(i\Delta x, j\Delta y)$.



Σε τέτοιου είδους γραμμικά συστήματα τα οποία έχουν προκύψει κατά την επίλυση μερικών διαφορικών εξισώσεων στο επίπεδο, υπάρχει ένας διαφορετικός τρόπος επίσκεψης των αγνώστων ο οποίος επιτρέπει τη παράλληλη εκτέλεση περισσότερων ενημερώσεων των τιμών των αγνώστων σε αντίθεση με την Gauss-Seidel μέθοδο.

Συγκεκριμένα οι αγνωστοι-σημεία στο επίπεδο χωρίζονται σε δύο κατηγορίες: τα κόκκινα και τα μαύρα σημεία. Όλες, οι ενημερώσεις στα σημεία του ίδιου χρώματος μπορεί να γίνουν παράλληλα αφού βασίζονται αποκλειστικά στις τιμές των σημείων του άλλου χρώματος. Έτσι, ο αλγόριθμος εναλλάσσει δύο φάσεις όπου σε κάθε φάση ενημερώνει τις τιμές στα σημεία του ίδιου χρώματος.



```
forall (i = 1; i < n; i++)
  forall (j = 1; j < n; j++)
    if ((i + j) % 2 == 0) /* compute red points */
      f[i][j] = 0.25*(f[i-1][j] + f[i][j-1] + f[i+1][j] + f[i][j+1]);
  forall (i = 1; i < n; i++)
    forall (j = 1; j < n; j++)
      if ((i + j) % 2 != 0) /* compute black points */
        f[i][j] = 0.25*(f[i-1][j] + f[i][j-1] + f[i+1][j] + f[i][j+1]);
```